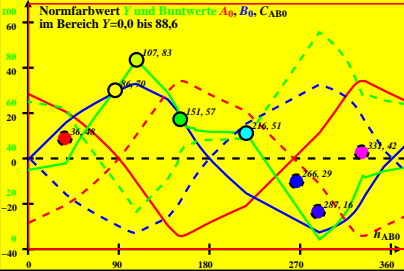


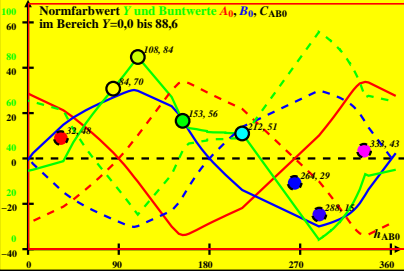
CIE-P60-Daten von -Ostwald-Farben von maximalem Buntwert C_{AB}
 $Y_w=88,6, Y_m=520_770, B_m=380_520$ und 1-Minus-Daten (- -)



0-000030-L0

DG121-2A_2_1

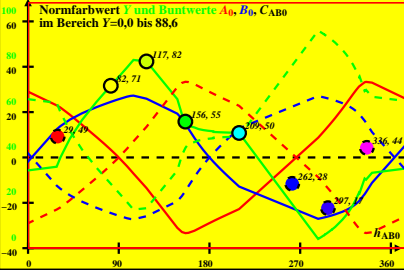
CIE-P55-Daten von -Ostwald-Farben von maximalem Buntwert C_{AB}
 $Y_w=88,6$, $Y_m=520_770$, $B_m=380_520$ und 1-Minus-Daten (- -)



0-000030-L0

DG121-2A_2_2

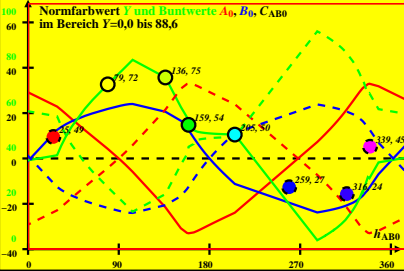
CIE-P50-Daten von -Ostwald-Farben von maximalem Buntwert C_{AB}
 $Y_w=88,6$, $Y_m=520_770$, $B_m=380_520$ und 1-Minus-Daten (- -)



0-000030-L0

DG121-2A_2_3

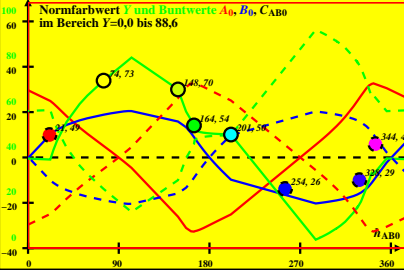
CIE-P45-Daten von -Ostwald-Farben von maximalem Buntwert C_{AB}
 $Y_w=88,6$, $Y_m=520_770$, $B_m=380_520$ und 1-Minus-Daten (- -)



0-000030-L0

DG121-2A_2_4

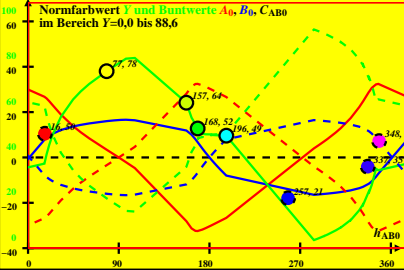
CIE-P40-Daten von -Ostwald-Farben von maximalem Buntwert C_{AB}
 $Y_w=88,6$, $Y_m=520_770$, $B_m=380_520$ und 1-Minus-Daten (- -)



0-000030-L0

DG121-2A_2_5

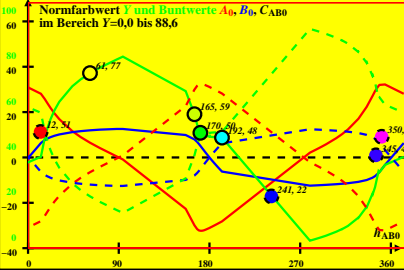
CIE-P35-Daten von -Ostwald-Farben von maximalem Buntwert C_{AB}
 $Y_w=88,6, Y_m=520_770, B_m=380_520$ und 1-Minus-Daten (- -)



0-000030-L0

DG121-2A_2_6

CIE-P30-Daten von -Ostwald-Farben von maximalem Buntwert C_{AB}
 $Y_w=88,6$, $Y_m=520_770$, $B_m=380_520$ und 1-Minus-Daten (- -)



CIE-P25-Daten von -Ostwald-Farben von maximalem Buntwert C_{AB}
 $Y_w=88,6$, $Y_m=520_770$, $B_m=380_520$ und 1-Minus-Daten (- -)

